

高等学校試用教科书

传 热 学

(修 訂 本)

楊世銘 陈大燮 編



中国工业出版社

基 本 符 号

a	导温系数, $\frac{\lambda}{c_p}$, “(米) ² /小时”。	t_f	流体温度, “°C”。
c	比热, “大卡/(公斤) °C”。	Δt	温压, “°C”。
C	辐射系数, “大卡/(米) ² (小时)(°K) ⁴ ”。	V	容积, “(米) ³ ”；或流体的容积流量, “(米) ³ /(小时)”。
d	直径, “米”。	w	速度, “米/秒”, “米/小时”。
f	横截面积, “(米) ² ”。	a	放热系数, “大卡/(米) ² (小时) °C”。
F	换热面积, “(米) ² ”。	β	容积膨胀系数, “1/°C”。
g	重力加速度, “米/(秒) ² ”。	γ	重度, “公斤/(米) ³ ”。
G	重量, “公斤”；或流体的重量流量, “公斤/小时”。	δ, Δ	厚度, “米”, “毫米”。
k	传热系数, “大卡/(米) ² (小时) °C”。	ε	黑度。
k_l	通过管壁的长度传热系数, “大卡/(米)(小时) °C”。	ζ	局部阻力系数。
l	长度, “米”。	θ	过余温度, “°C”。
p	压力, “公斤/(米) ² ”, “公斤/(厘米) ² ”。	λ	导热系数, “大卡/(米)(小时) °C”；在辐射诸章中亦作波长, “米”。
Δp	压力差, “公斤/(米) ² ”。	μ	粘度(粘性系数), “(公斤)(秒)/(米) ² ”。
q	热流量, “大卡/(米) ² (小时)”。	ν	动粘度(运动粘性系数), $\frac{\mu}{\rho}$, “(米) ² /秒”, “(米) ² /小时”。
Q	热量, “大卡”；或单位时间内通过的热量, “大卡/小时”。	ξ	摩擦阻力系数。
r, R	半径, “米”；“r”在集态改变放热中亦作为汽化潜热, “大卡/公斤”。	ρ	密度, $\frac{\gamma}{g}$, “(公斤)(秒) ² /(米) ⁴ ”。
s	每单位面积的摩擦阻力, “公斤/(米) ² ”。	σ	表面张力, “公斤/米”；在辐射诸章中亦作斯忒藩·玻耳兹曼常数。
S	力, “公斤”。	τ	时间, “小时”, “秒”。
t	温度, “°C”。	ω	立体角。
T	绝对温度, “°K”。		
t_w	壁面温度, “°C”。		

相 似 准 则

$Re = \frac{w \cdot l}{\nu}$ —雷诺准则。	$Eu = \frac{\Delta p}{\rho w^2}$ —欧勒准则。
$Pr = \frac{\nu}{a}$ —普朗特尔准则。	$Fr = \frac{gl}{w^2}$ —弗鲁特准则。
$Pe = Re \cdot Pr = \frac{w \cdot l}{a}$ —贝克利准则。	$Ga = Fr \cdot Re^2 = \frac{gl^3}{\nu^2}$ —伽里略准则。
$Nu = \frac{al}{\lambda}$ —努谢尔特准则。	$Ar = Ga \cdot \frac{\rho - \rho_0}{\rho} = \frac{gl^3}{\nu^2} \cdot \frac{\rho - \rho_0}{\rho}$ —阿基米德准则。
$Gr = \frac{gl^3}{\nu^2} \cdot \beta \cdot \Delta t$ —葛拉晓夫准则。	$Fo = \frac{ar}{l^2}$ —傅里叶准则。
$Ho = \frac{w \cdot \tau}{l}$ —均时性准则。	$Bi = \frac{al}{l_w}$ —毕渥准则。

目 录

基本符号

第一章 緒論	1
§ 1-1 传热学的研究对象及其在科学技术上的重要性	1
§ 1-2 换热的基本方式	1
§ 1-3 传热学简史及展望	2
第二章 导热的基本概念及定律	4
§ 2-1 温度場	4
§ 2-2 傅里叶定律	5
§ 2-3 导热系数	5
§ 2-4 导热問題的数学描写	11
第三章 稳定导热	15
§ 3-1 平壁的导热	15
§ 3-2 圆筒壁的导热	20
§ 3-3 球壁的导热	25
§ 3-4 不規則形状物体的导热	27
§ 3-5 表面温度不均匀时的导热	31
§ 3-6 通过肋片的散热	31
§ 3-7 元体平衡法	38
第四章 对流换热的基本概念	42
§ 4-1 放热过程	42
§ 4-2 放热系数	43
§ 4-3 换热的微分方程式組	43
§ 4-4 换热的单值性条件	47
§ 4-5 边界层的概念	47
第五章 相似理論	50
§ 5-1 相似的概念	50
§ 5-2 相似准则和相似定理	53
§ 5-3 相似理論应用到对流换热的一个实例	54
§ 5-4 常用准则数的物理意义	57
§ 5-5 定性温度和决定性尺度	58
第六章 流体受迫运动时的放热 I —— 管內槽內流动	61
§ 6-1 管內流动的特征	61
§ 6-2 湍流时的放热	64
§ 6-3 层流时的放热	67
§ 6-4 过渡状态的放热	69
§ 6-5 液态金属在管內流动时的放热	70
第七章 流体受迫运动时的放热 II —— 外掠物体流动	71
§ 7-1 掠过平壁	71

§ 7-2 橫向掠過圓管	73
§ 7-3 橫向掠過管束	76
§ 7-4 氣體高速流動時的放熱	80
第八章 流體自由運動時的放熱	85
§ 8-1 流體自由運動的特徵	85
§ 8-2 無限空間中的自由運動放熱	85
§ 8-3 有限空間中的自由運動放熱	91
第九章 流體集態改變時的放熱 I —— 蒸氣凝結	94
§ 9-1 珠狀凝結和膜狀凝結	94
§ 9-2 膜狀凝結放熱的綜合關係	95
§ 9-3 液膜層流時平均放熱系數的綜合公式	97
§ 9-4 部分液膜湍流時平均放熱系數的綜合公式	98
§ 9-5 其他因素對凝結放熱的影響	100
第十章 流體集態改變時的放熱 II —— 液體沸騰	104
§ 10-1 沸態沸騰與膜態沸騰	104
§ 10-2 汽泡的形成和成長	105
§ 10-3 大容器內沸態沸騰放熱的綜合關係	109
§ 10-4 臨界熱載荷	114
§ 10-5 管內沸騰	116
第十一章 热輻射的基本概念 I	118
§ 11-1 热輻射的本質	118
§ 11-2 輻射的吸收、反射和穿透，絕對黑體	118
§ 11-3 輻射力和輻射強度	119
§ 11-4 朗伯定律	120
§ 11-5 基爾霍夫定律	121
§ 11-6 蒲朗克定律	122
§ 11-7 斯忒藩-玻耳茲曼定律	123
第十二章 热輻射的基本概念 II	124
§ 12-1 實際固體和液體的輻射和吸收，灰體	124
§ 12-2 輻射能在吸收性介質內的傳遞	126
§ 12-3 氣體的輻射	129
§ 12-4 火焰的輻射	134
第十三章 輻射換熱	136
§ 13-1 本身輻射與有效輻射	136
§ 13-2 被透明介質隔開的平行平面間的輻射換熱，遮熱板	137
§ 13-3 被透明介質隔開的空腔內物体與空腔內壁間的輻射換熱	139
§ 13-4 被透明介質隔開的二個黑體任意面積間的輻射換熱	140
§ 13-5 輻射換熱的幾何特徵，角系數的確定方法	142
§ 13-6 氣體與外殼間的輻射換熱	148
§ 13-7 爐內輻射	151
第十四章 傳熱和熱絕緣	154
§ 14-1 夤杂換熱	154

§ 14-2 传热.....	155
§ 14-3 传热的增强.....	162
§ 14-4 热绝缘.....	166
第十五章 换热器	168
§ 15-1 换热器的基本原理.....	168
§ 15-2 间壁式换热器的平均温差.....	170
§ 15-3 列管间壁换热器的设计.....	173
§ 15-4 间壁式换热器的核算.....	181
§ 15-5 最经济换热器的设计及换热器的效率.....	186
§ 15-6 换热器的模化实验法.....	187
第十六章 不稳定导热.....	191
§ 16-1 加热和冷却过程.....	191
§ 16-2 数学解法的概念.....	192
§ 16-3 有限差值图解法.....	200
§ 16-4 正规状况法的概念.....	202
附录	206
附录1 各种不同材料的比重量、导热系数、比热和导温系数.....	206
附录2 在大气压力 $B = 760$ “毫米汞柱”时干空气的物理参数.....	208
附录3 计算气体粘度的 C 和 μ_0 的数值.....	209
附录4 在大气压力 $B = 760$ 毫米汞柱下烟气的物理参数.....	209
附录5 空气的 ρ 和 ν : $\rho = f(t, B)$, $\nu = f(t, B)$	210
附录6 在饱和线上水蒸气的物理参数.....	210
附录7 在一个大气压或饱和线上水的物理参数.....	211
附录8 水和水蒸汽: $\lambda = f(t, p)$	212
附录9 水银及熔融金属的物理参数.....	213
附录10 各种不同液体的热参数.....	213
附录11 各种不同液体的导热系数, $\lambda \times 10^2$ “大卡/(米)(小时)°C”.....	213
附录12 各种不同材料的黑度(法线方向辐射).....	214
附录13 计算水蒸气凝结放热系数的一些辅助量计算公式.....	220
附录14~17 $\epsilon_{dt} = f(P, R)$	220
附录18 工业用换热设备里 α 和 k 数值的大致范围.....	221
附录19~22 技术上某些重要辐射换热场合的角系数的数值.....	222
附录23 双曲线函数.....	224
附录24 虚变数的贝塞尔及汉格尔函数.....	225
参考文献.....	226

第一章 緒論

§ 1-1 传热学的研究对象及其在科学技术上的重要性

传热学的研究对象是热的传播过程。热力学第二定律指出：只要有溫度差存在，热量总是自发地从高溫物体传向低溫物体。溫度差普遍地出現在自然界里，所以热的传播过程是一个很普遍的自然現象。

研究和学习传热学的目的是为生产服务。传热学的工程应用范围是很广泛的。許多隶属于不同工程領域的生产技术都建筑在传热学的基础上。涉及的工程領域包括：动力、建筑、冶金、致冷、机械制造、电工、化工及航空等。其中特別是热能动力部門对传热学的要求更为突出。热能动力設備的設計、制造及运行方面大量地应用着传热学研究所总结出的規律。

应用传热学規律来求解的实际問題不外乎二种类型：第一种类型是力求热传播过程的增强，例如設計最經濟的換熱設備来完成交換一定热量的任务就属于这个类型；第二种类型是力求热传播过程的削弱，例如减少不必要的热損失就属于这类問題。下面举具体的例子來說明传热学在热能动力部門的重要作用。

先談力求增强換热的具体例子。按照热力学的理論，热能动力系統包括两个溫度不同的热源和一个工作于这两个热源間的热机。在这个系統的工作過程里載热体（介质）常常变换，系統热效率的提高就要求用尽可能小的溫差来把热量从一个載热体传到另一个載热体。这里传热学起着决定性的作用。在蒸汽动力厂里热量最初存在于燃气（高溫热源）之中。在鍋炉里燃气将热传給蒸汽。蒸汽作功后进入凝汽器又把热传給冷却水。冷却水在通过冷却塔时又将热量传給大气（低溫热源）。从燃气到大气載热体变换了好几次，处处要应用传热学的規律来处理。內燃机动力厂的情况与蒸汽动力厂不同，沒有載热体的变换。燃气直接作功，废气和废热一起排入大气。虽然如此，內燃机的設計和运行还是需要传热学的知识，因为气缸壁必須依靠水或空气冷却保持在安全工作溫度之下。热效率高的內燃机气缸的輸出功率，在一定程度上取决于气缸壁的有效冷却和废气中热量的利用。燃气輪机动力厂和內燃机动力厂的情况是类似的。燃气輪机的叶片冷却、轉子冷却和加强換热器效率是提高燃气輪机效率的重要途径。

其次，再談第二类型的問題。减少不必要的热 損失对热力 机械的效率 亦有很大的影响。热力学第二定律告訴我們，一定量的热在高溫时較低溫时作功能力为大。因此蒸汽机汽缸和管道的保溫是很重要的事情。此外，社会主义国家很重視高溫車間防暑降温改善劳动条件的工作，这和热力設備的热絕緣与保溫亦是分不开的。

§ 1-2 換热的基本方式

根据过程物理本质的不同，換热的現象可以区分为三种基本方式：导热的方式、对流的方式和輻射的方式。

导热方式是指直接接触的物体各部分能量交換的現象。在液体和固体介電質中，能量轉移主要是依靠弹性波的作用；固体金属則主要依靠自由电子的运动；气体則主要依靠原

子或分子的运动。

对流方式只能在液体和气体中出現。它是指流体各部分发生相对位移而引起的热量交换。对于对流方式，流体的状态和运动的性质是非常重要的因素。对流方式总相伴有导热的过程。

辐射是一种由电磁波来传播能量的現象。它与导热和对流方式有着本质上的区别。它不仅要产生能量的轉移，而且还伴随着能量形式之間的轉化；从热能到辐射能，或者相反地从辐射能轉化为热能。

不同的換热方式遵循着不同的換热規律，因此分別研究每一种的規律是非常必要的。此外，几种換热方式的常常同时出現，使得实际的換热过程很复杂。以蒸汽鍋炉为例：从燃气到沸水管的外表面（烟垢外表面），热量的传播同时具备导热、对流和辐射三种方式；从烟垢外表面通过烟垢层、沸水管的管壁、水垢层到沸水管內表面（水垢內表面）的热量的传递完全依靠导热；最后从水垢內表面到水流就依靠对流及导热。由此可見，实际換热的过程往往是二种或三种基本方式的复杂組合。在实际計算里，对于这一类复杂的過程，有时就給它一些專門的名称，把它当作一个整体来看待。例如，把壁面和流体間的对流和导热的总作用叫做“對流換熱”過程。把热量从一流体穿过間壁传往另一流体的过程叫做“傳熱過程”。

本課程将首先依次討論三个基本換热方式的規律，其次討論傳熱過程的規律，再次討論这些規律的应用，換熱器的計算。在最后的一章里 将扼要地討論 不稳定导热過程的規律。

§ 1-3 传热学簡史及展望

传热学說是从M.B. 罗蒙諾索夫（1760）所奠基的关于热的一般學說的基础上发展起来的。在18世紀和19世紀里，由于蒸汽机，接着是汽輪机和內燃机的相继出現，热学作为物理学的一部分而日益发展起来。它研究了一些普遍的原理，其中也包括着热的传播的各种問題，先后出現了导热，对流換热和热辐射的計算公式，

导热：傅里叶（1822）公式

$$Q = \lambda \frac{F \Delta t}{L} \text{ “大卡/小时”} . \quad (1-1)$$

对流換热：牛頓（1702）公式

$$Q = \alpha F \Delta t \text{ “大卡/小时”} . \quad (1-2)$$

热辐射：斯忒藩（1879）玻耳茲曼（1884）公式

$$Q = \sigma F T^4 \text{ “大卡/小时”} . \quad (1-3)$$

式中 λ 为导热系数，“大卡/（米）（小时） $^{\circ}\text{C}$ ”；

α 为放热系数，“大卡/（米） 2 （小时） $^{\circ}\text{C}$ ”；

σ 为辐射常数，“大卡/（米） 2 （小时）（ $^{\circ}\text{K}$ ） 4 ”。

在19世紀末，随着生产的发展要求提高单个发动机功率，传热過程在热机中的作用显得愈来愈重要。同时，建筑、冶金、致冷、机械制造和电工等其他技术部門都开始对換热現象注意起来。

在本世紀初叶，虽然传热問題的研究已得到一些成績，但一般說來，传热的學說还

处在萌芽的状态，特別在对流換热方面只不过汇集了某些个别的經驗数据罢了。传热学說的发展成为一門独立的学科还是近几十年內的事情。

相似理論的确立，使传热学說的发展获得了可靠的基础。B.J.基尔比切夫（1874），M.B.基尔比切夫（1923）和A.费杰尔曼（1911）在俄国和苏联，W.勞謝爾特（1910）在德国，均已早在很早就研究相似理論。最近几十年来相似理論获得了很大的发展，已經成为一套关于研究、修訂和綜合實驗数据的一般方法論。借助于相似理論，換热方面的已有数据都重新經過审定和修正而被整理成明确的系統。有的国家并且以相似理論为基础創造了“热模化”的理論。其次，近几十年来物理学上的成就，特别是对流体的层流和湍流情況的研究和边界层理論的逐漸充实，更深刻地闡明了对流換热过程的物理本质，也促进了传热学說更进一步的发展。現在，传热学已成为一門独立的学科，与热力学共同組成热工学的理論基础。

在传热学方面，我国劳动人民在向自然界斗争的过程里，积累了极其丰富的經驗，卓越地运用了符合客觀規律的科学原理。远在五千年前，我国制造的陶器中有一种名为“商”的东西，它有长而中空的三个足，用它烧水和煮食物比一般器具易熟，原因是它的传热面積較大并且结构有利于器中的流体自然对流。我国古代炼丹炉上所用的黃土、石灰、紙筋泥有絕热的作用，使炼丹炉的溫度变化不急剧。我国古代炼鋼制劍所以能够放出異彩也是和改进炉膛辐射及选用有效的絕热材料分不开的。这些事例充分說明了我国劳动人民的高度智慧。可是长期的封建和反动派統治阻碍了生产力的更进一步发展，使我国这些早期的实践經驗也就只能长期停留在純經驗的阶段上。

解放后，在党的英明领导下，科学技术的迅速发展也給传热学的发展奠定了可靠的基础。有关高等学校从1952年开始，按照专业的需要開設了独立的传热学課程，建立了传热学实验室，为培养传热研究的干部創造了条件。同时在第一个五年計劃期間一些工业企业部門开始建立了传热研究的机构。党制定的科学规划里也指出要迅速填补传热学这門空白学科的任务，給传热学的发展起了巨大的推動作用。在短短的几年里，科学院、高等学校和企业部門的传热研究联系了我国的生产实际，逐步加强了学术活动，并已取得了初步的研究成果，出現了蓬勃发展的新气象。

在党的社会主义建設总路綫的光輝照耀下，我国国民经济的各个部門正以史无前例的高速度繼續跃进。生产的跃进对传热学提出了很多新的尖端課題。同时一些基础理論課題也随着技术应用的迅速发展被提到研究的日程上来。

我們相信全国科学工作者和技术干部，在党的正确領導下，高举总路綫、大跃进、人民公社三面紅旗，一定能够出色地完成摆在我們面前的巨大而光荣的各项科研任务，并且在完成这些任务的过程中，使传热学在我国社会主义建設中，更好地發揮其作用。

第二章 导热的基本概念及定律

§ 2-1 溫 度 場

导热过程是依靠溫度的差別而产生的。所以在研究导热的过程时，必須知道物体的溫度分布。一般讲来物体的溫度分布可以是座标和時間的函数，所以可以表达成下列形式：

$$t=f(x, y, z, \tau), \quad (2-1)$$

式中 x, y, z 为空間座标， τ 为時間座标。

某一瞬间空間一切点的溫度分布称为溫度場。場內任何点的溫度不随時間而变动的溫度場称为稳定溫度場，随時間而变动的称为不稳定溫度場，在稳定溫度場中，

$$t=\Phi(x, y, z), \frac{\partial t}{\partial \tau}=0. \quad (2-2)$$

具有稳定溫度場的导热称为稳定导热。在一般情况下，当时間趋近无限长时，不稳定溫度場，漸近于稳定溫度場。

物体中的溫度場可以是三向的、二向的和一向的；即三向上都有溫度变化、二向上有溫度变化和仅只一向上有溫度变化。两个表面各自保持均匀溫度（但二个表面上的溫度不相同）的大平壁內的溫度場是一向溫度場的例子。球体及圓柱体中內外壁溫度各保持均匀值时的导热有时也可以作为一向导热看待。一向导热时，其溫度場的式子为：

$$t=\varphi(x, \tau), \frac{\partial t}{\partial y}=\frac{\partial t}{\partial z}=0. \quad (2-3)$$

一向而又稳定的溫度場，其式子为：

$$t=\Psi(x), \frac{\partial t}{\partial y}=\frac{\partial t}{\partial z}=\frac{\partial t}{\partial \tau}=0. \quad (2-4)$$

溫度場中同瞬间的等溫点相連接成为等溫面。等溫面与其它任一平面相交成一等溫線。不同的等溫面，可与同一平面相交，成为后一平面上一族的等溫線。物体的溫度場可以用等溫線图或等溫面图来表示。当溫度場为一向时，所有的等溫面，与所有平行于导热方向的平面相交所成的等溫线族是相同的，因此与任一个这样的平面相交所成的等溫线族，就可以完全代表各个等溫面。对于內外两表面各維持恒溫的圓柱体來說，任何垂直于中心綫的平面上的等溫线族就是如此。

等溫面之間，以及等溫线之間是不会相交的。这是因为空間的任何一个点不可能同时具有二个溫度值。在連續的溫度場內，等溫面和等溫线也是不会中断的。

在等溫面的法綫方向，单位長度的溫度变化最大。

溫度梯度是溫差 Δt 对于沿法綫方向两等溫线間距离 Δn 的比值的极限。它是一个向量，即：

$$\lim_{\Delta n \rightarrow 0} \left(\frac{\Delta t}{\Delta n} \right) = \text{grad} t = \vec{n}_o \frac{\partial t}{\partial n}. \quad (2-5)$$

式中 \vec{n}_o 表示单位向量， $\frac{\partial t}{\partial n}$ 表示溫度在法綫方向上的导数。溫度梯度在空間三个主軸上的分量，等于其相对应的偏导数，即：

$$\text{grad}t = \vec{i} \frac{\partial t}{\partial x} + \vec{j} \frac{\partial t}{\partial y} + \vec{k} \frac{\partial t}{\partial z}. \quad (2-6)$$

式中 \vec{i} 、 \vec{j} 、 \vec{k} 表示三个主轴上的三个单位向量。

溫度勢或溫度降度為溫度梯度的負值，即：

$$\vec{E} = -\text{grad}t. \quad (2-7)$$

熱的傳導方向，與溫度梯度的方向相反，而與溫度降度的方向相一致，參看圖2-1。

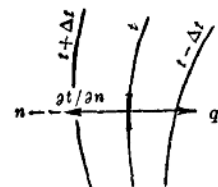


圖 2-1 溫度梯度和
熱流方向的關係

§ 2-2 傅里叶定律

在純導熱的現象中，所傳導的熱量，是與溫度降度、時間、垂直於導熱方向的截面面積成正比的。以算式表示，單位時間內通過單位面積的熱量是：

$$\vec{q} = -\lambda \text{grad}t = -\lambda n_e \frac{\partial t}{\partial n}. \quad (2-8)$$

或就代數值來說

$$q = -\lambda \frac{\partial t}{\partial n}. \quad (2-8a)$$

是謂傅里葉定律。在單位時間內，單位面積所通過的熱量 \vec{q} 稱為熱流量。根據熱力學第二定律，熱流量應是與溫度梯度相反的向量。它的工程單位是“大卡/(米)²(小時)”。 λ 是單位時間內經過單位面積，每單位溫度降度的熱量，稱為導熱系數。導熱系數的工程單位是“大卡/(米)²(小時)°C/米”〔或“(大卡)/(米)(小時)°C”〕。導熱系數是一個表征物質導熱能力的物理量，對於不同的物質，導熱系數是各不相同的。在同一物質內，導熱系數還要隨著物質的壓力，溫度，及其他有關因素而變異。因為上式是對微元長度寫的，所以對於變導熱系數也是適用的。

當 λ 為常數時，在一向導熱的場合下，傅里葉定律成為 $q = -\lambda \frac{\partial t}{\partial x} = -\lambda \frac{t_2 - t_1}{x_2 - x_1}$ 。

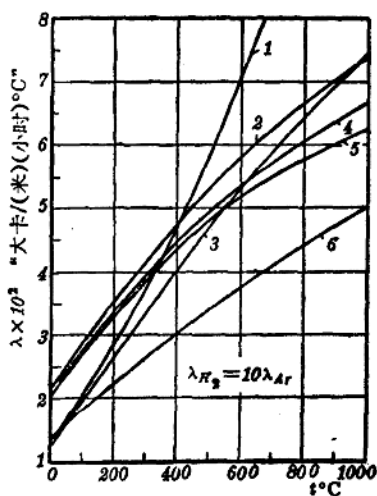
如 λ 幾非常數，往往可用 $\lambda = \lambda_0 (1 + bt)$ 的關係求解。在實際計算中，導熱系數的數值是取物體兩極端溫度對應的算術平均值，並把它當作常數處理。這種方法求得的結果對於穩定導熱與用 $\lambda = \lambda_0 (1 + bt)$ 的關係求得的結果是相同的(參看§3-1)。

§ 2-3 导热系数

各種材料的導熱系數都是用實驗方法測定的。從事工程計算時導熱系數的數值最好從按照實驗數據整理成的圖表中查取。但是這些圖表遠不能包括實用上所能遇到的場合，圖表上的數據往往有必要外延或按照具體條件：溫度、壓力、濕度等加以修正。為了指導合理地外延和修正，下面分別對氣體液體和固體材料分析一下各種因素對導熱系數影響的規律。這些規律可以從微觀角度來闡明，但是這將超越本課程的範圍。讀者如有興趣可參閱這方面的一些專門著作〔9, 11〕①。

(1) 氣體的導熱系數：根據實驗測定的結果大多數氣體的導熱系數數值在 0.005 ~ 0.5 “大卡/(米)(小時)°C”的範圍內。幾種常見氣體的導熱系數給出在表2-1及圖2-2

① 此處編號均系書末參考文獻的序號，下同。

图 2-2 几种气体的 $\lambda=f(t)$

1—蒸汽；2—氧；3—碳酸气(CO_2)；
4—空气；5—氮；6—氢。

情况以外，大多数气体是符合上述条件的。在极端低压时，例如低于20毫米水银柱的真空间度时，气体稀薄到分子的平均自由行程可以与容器的尺度相比拟。这时 \bar{l} 将受到容器的限制，所以当压力再降低时， $\bar{l}\gamma$ 的乘积将不能保持不变而有所减小，故导热系数将随压力的降低而减小。在极端高压时（高于2000大气压）由于气体分子间的相互作用力随压力的增加而加大，因此导热系数将随压力的增高而增大。

表 2-1 各种气体在大气压力下的导热系数

温 度 $t^{\circ}\text{C}$	$\lambda \times 10^8$ “大卡/(米)(小时)·°C”						
	空 气	氮	氧	蒸 汽	碳 酸 气	氢	氯
0	21.0	20.9	21.2	13.9	12.6	150.0	14.0
100	27.6	27.1	28.3	20.6	19.6	186.0	18.1
200	33.8	33.1	35.0	28.4	26.6	222.0	22.2
300	39.6	38.6	41.3	37.3	33.6	258.0	26.2
400	44.8	43.6	47.3	47.3	40.6	294.0	30.0
500	49.4	48.0	52.9	58.4	47.2	330.0	33.7
600	53.5	51.9	58.0	70.7	53.4	366.0	37.3
700	57.2	55.2	62.6	84.2	59.2	402.0	40.7
800	60.6	58.0	66.8	98.8	64.6	438.0	44.0
900	63.7	60.3	70.5	114.5	69.6	474.0	47.1
1000	66.5	62.2	73.8	131.0	74.2	510.0	50.1

气体分子运动的平均二次方速度与温度有如下的关系：

$$\frac{m \bar{w}^2}{2} = BT. \quad (2-10)$$

式中 m —每个气体分子的质量；
 T —气体的绝对温度；

● 例如可参看高等工业学校物理学编写组编，物理学（初稿）第一册，152—154页。高等教育出版社，1955。

中。气体的导热系数对温度、压力的依变关系可大致归结为一句话——“气体的导热系数随温度的升高而增加而与压力无关”。

气体的导热作用主要是由于分子的移动及其相互碰撞。按照理想气体分子运动的理论分析可以得到：

$$\lambda = \frac{1}{3} \bar{w} \bar{l} \gamma c_v. \quad (2-9)$$

式中 \bar{w} —气体分子运动的平均二次方速度；
 \bar{l} —气体分子互相碰撞的平均自由行程；
 γ —气体的重度；
 c_v —气体的定容比热。

当气体的行为遵循理想气体的方程式时 $\bar{l}\gamma$ 的乘积为常数。这是因为随着压力的增加 γ 的增大和 \bar{l} 的减小程度相等的缘故。所以在这种条件下导热系数的数值与压力无关。除了极端低压或极端高压的情况以外，大多数气体是符合上述条件的。在极端低压时，例如低于20毫米水银柱的真空间度时，气体稀薄到分子的平均自由行程可以与容器的尺度相比拟。这时 \bar{l} 将受到容器的限制，所以当压力再降低时， $\bar{l}\gamma$ 的乘积将不能保持不变而有所减小，故导热系数将随压力的降低而减小。在极端高压时（高于2000大气压）由于气体分子间的相互作用力随压力的增加而加大，因此导热系数将随压力的增高而增大。

B ——常数。

根据上式的关系，气体导热系数随温度的升高而增加是很容易理解的。

值得指出，氢和氦的导热系数比一般气体高得多（5~10倍），这是由于它们具有较小的分子质量，因而分子运动速度较快的缘故。

混合气体的导热系数不适用部分求和的法则，它们必须用实验来测定。

(2) 液体的导热系数：实验确定液体的导热系数在0.08~0.6大卡/(米)(小时)°C的范围内。除了水和甘油以外绝大多数液体的导热系数随温度的增加略有减小，参看图2-3。值得指出：水的导热系数比其他液体要大好几倍并且对温度的依变关系很特殊，在120°C以下水的导热系数随温度的升高而增大，但高于120°C时则又随温度升高而减小。

(3) 绝热材料的导热系数：导热系数最小的一些固体材料适宜于作为热绝缘材料。习惯上把导热系数小于0.2“大卡/(米)(小时)°C”的材料称为绝热材料。绝热材料所以具有较小的导热系数是和它们具有的多孔性的结构分不开的。通过多孔性材料的热交换过程实际上是一个通过固体和孔隙的复杂热传递过程，但习惯上总把整个过程当作单纯的热传导来处理。由于填充孔隙的空气导热系数的数值非常小因此绝热材料的导热系数随着多孔度的增加或容重（单位容积的重量）的减小而降低。当然，孔的断面结构、是否闭合以及固体物质的种类都对绝热材料的导热系数有重要的影响。

我国近年来制造成功多种新型高效能绝热材料，成本低、效用好，值得推广。几种典型的国产绝热材料的性质列在表2-2中。从表中可以看出，在低温工作条件下(250°C以下)

表 2-2 几种国产绝热材料的性质

名 称	容 重 “公斤/(米) ³ ”	导热系数， λ “大卡/(米)(小时)°C”	使用极限温度 “°C”
1. 草绳	232	0.055~0.097	100
2. 黄土、木屑	800~900	$0.188 + 0.000378t_{cp}$	105
3. 石棉纸	770	0.10	
4. 苏维利特制品	340~400	$0.080 + 0.00010t_{cp}$	450
5. 蛭石层	100	0.055~0.195	
6. 硅藻土制品	400~550	$0.054 + 0.00012t_{cp}$	900

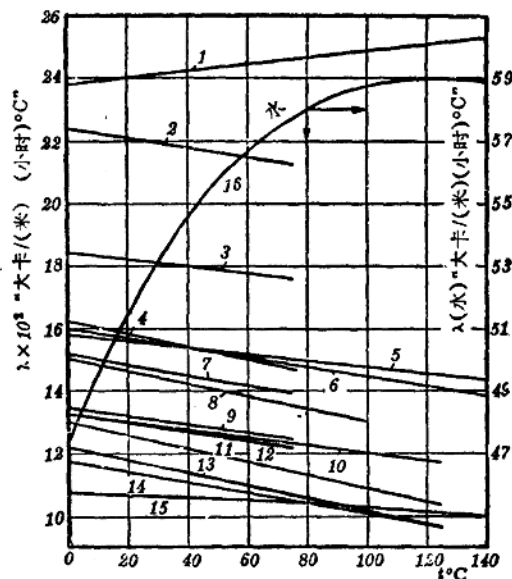


图 2-3 几种液体的 $\lambda = f(t)$

1—无水甘油；2—蚊酸；3—甲醇(木醇)；4—乙醇(酒精)；
5—茴麻油；6—殷(亚尼林)；7—醋酸；8—丙酮；9—丁醇；
10—硝基苯；11—异丙醇；12—苯；13—甲苯；14—二甲苯；15—凡士林油；16—水(右边的比例尺线)。

可以采用黃土、木屑、石棉紙、泡沫混凝土等絕熱材料。石棉紙、泡沫混凝土所以不能在較高溫度範圍內使用是由于它們具有在高溫下分解的粘結劑成分。蘇維利特制品具有很高的重複使用價值。在高溫高壓電廠管道熱絕緣方面硅藻土及石棉硅藻土是適用的材料。硅藻土是天然礦物，我國很多地區都有出產。它除了粉末狀的天然形式外，也有在窯內燒成磚或其他成形的制品。粉末狀的天然硅藻土的導熱系數給出在表 2-3 中。從表中可以看出對

表 2-3 天然硅藻土粉末的導熱系數

容 重 (公斤/米 ³)	導熱系數, λ , “大卡/(米)(小時)°C”					
	50°C	100°C	150°C	200°C	250°C	300°C
150	0.037	0.045	0.050	0.057	0.064	0.068
200	0.029	0.032	0.035	0.039	0.043	0.045
250	0.034	0.036	0.038	0.041	0.044	0.047
300	0.039	0.041	0.044	0.046	0.049	0.050

同一容重的粉末來說，導熱系數隨着溫度的增加而增大。這種變化以容重較小時比較顯著。另一方面還可以看到，象其他纖維狀材料一樣，在同一溫度下隨着容重的增加導熱系

數先出現減小的現象，繼而又出現增大的現象。這種變化是因為材料的對流換熱和輻射的總作用要取決於孔隙的數目和大小、溫度及溫度差等好幾種因素。

在制冰致冷等工業設備上要採用低溫絕熱材料。低溫的壁面會導致空氣中水分的凝結，因此這類絕熱材料除了必須具有低導熱系數以外還必須具有防潮的特點。在這個類型里玻璃絨、柏油、軟木、羊毛毡、牛毛毡都是應用很廣的材料。

幾種絕熱材料的導熱系數和溫度的依變關係給出在圖2-4中。

(4)耐火材料的導熱系數。在設計爐膛時，有時要求選用導熱系數大的耐火材料，但也有要求選用導熱能力差的耐火材料的場合。幾種不同種類耐火材料的導熱系數示出在表2-4中。

從表中的鎂磚的資料可以看出隨著孔隙的增加導熱系數有所減小。這種現象的原因在絕熱材料一節里已經討論過。從表中和圖2-4中的資料還可以看出絕大多數

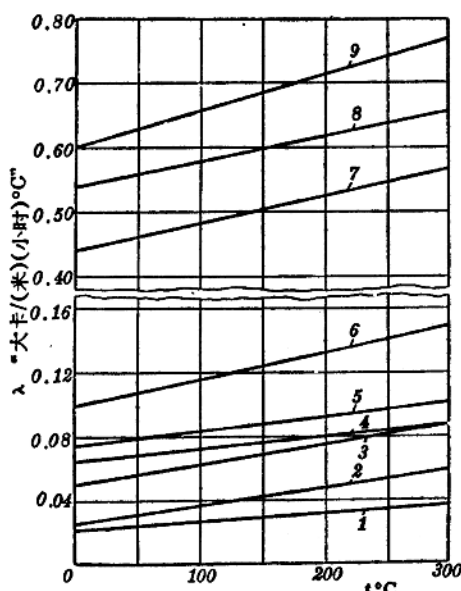


圖 2-4 絶熱材料和耐火材料的 $\lambda=f(t)$
1—空氣；2—礦物毛, $\gamma=160$ “公斤/(米)³”；
3—紐凡爾●, $\gamma=340$ “公斤/(米)³”；4—石棉
白雲石, $\gamma=440$ “公斤/(米)³”；5—硅藻土磚,
 $\gamma=550$ “公斤/(米)³”；6—紅磚, $\gamma=1.627$ “公
斤/(米)³”；7—矿津三合土磚, $\gamma=1.373$ “公
斤/(米)³”；8—耐火粘土磚, $\gamma=1.840$ “公
斤/(米)³”。

● 紐凡爾是85%輕質土和15%三、四級石棉的混合物。

表 2-4 几种耐火材料的导热系数

名称	比重量 “公斤/米 ³ ”	空隙 百分数 (%)	主要化学组成(%)					导热系数λ, “大卡/(米)(小时)°C”				
			SiO ₂	Al ₂ O ₃	SiC	MgO	ZrO ₂	200°C	400°C	600°C	1000°C	1400°C
硅砖	2560	30.4	97					1.01	1.22	1.43	1.73	1.94
镁砖	2400	36				87		5.07	4.17	3.72	3.20	2.98
镁砖	2900	16				87			7.45	7.15	3.42	
钻砖	4860	29.5	27.3	7.8			60.4	1.23	1.38	1.53	1.65	1.76
碳化硅砖	2060	35	—	—	—					15.8	10.2	9.23
碳化硅砖	2320	26	7	3	90			17.1	14.0	10.2	9.10	
碳化硅砖	2360	21	10	8	77				10.4	9.10	7.15	
碳化硅砖	2240	24	21	16	57				5.07	4.91	4.02	
碳化硅砖	2190	22	26	20	49				4.02	3.32	3.28	

耐火材料的导热系数都是随温度的增高而增大的。但镁砖却是例外。镁砖所以具有例外的性质原因在于它的内部结构。无论在理论上或者在实验上都已经证明晶体的导热系数和绝对温度成反比，而无定形态物质的导热系数则随温度的增加而增大。在一个组成成分复杂的耐火材料中结晶成分对导热系数变化的影响与无定形态物质成分，空气，以及孔隙中辐射的影响相反。镁砖主要是由结晶材料构成的。正因为这样它在低温时的导热系数较高温时为大。

(5) 建筑材料的导热系数：表2-5给出多种建筑材料的导热系数。很多建筑材料都具有多孔性的结构，例如砖，水泥，石灰石，灰浆，砂粒以及各种木材等。值得特别指出的是含水量对具有多孔性结构的材料的导热系数有很大的影响。填充空隙的水分具有比空气高得多的导热能力，并且若湿度分布不匀还要产生水分的迁移，而附加了热量迁移。实验指出，湿度的增加使导热系数增大很多，这点从表2-5中也可以明显地看出。有一些材料，例如木材，在各个方向上具有不同的结构，它的导热系数也随方向的不同而有极大的差别。通常称这些材料为各向异性材料。对于各向异性材料的导热系数数据必须指明热流方向。

(6) 金属和合金的导热系数。纯金属是热的良导体。金属的热传导主要依靠分子间自由电子碰撞的作用。因为导热的机构和导电的机构相同，所以导热系数也和导电系数一样具有随温度的增加而减小的依变关系。图2-5示出一些主要金属的导热系数的数值。从图上可以看到，金属的纯度对导热有影响；这是因为杂质干扰自由电子的能量传递的缘故。

合金的导热系数视成分与结构而不同，它随温度的升高而增大。几种有色金属合金的导热系数列出在表2-6里。还可以注意到有些合金的导热系数甚至比任一种组成成分的导热系数为小。

液态金属水银和熔融钠的导热系数给出在附录9里。

几种热处理过的钢铁合金的导热系数被收集在表2-7里。从表上可以看出，增加铬、镍的成分可以使导热系数减小到熟铁导热系数的1/2至1/3的大小。含铬、镍成分多的高级合金钢具有导热系数随温度的增加而增大的性质。

图2-6示出各种气体、液体和固体导热系数的比较。

表 2-5 20°C时各种建筑材料的导热系数

材 料	容 重 “公斤/(米) ³ ”	导热系数, λ , “大卡/(米)(小时)°C”
柏油	2100	0.60
砖, 干的	1680	0.45
1%容积含水	1680	0.60
2%容积含水	1680	0.90
混凝土, 干的	1900	0.68
10%容积含水	2300	1.10
加钢筋的	2300	1.15
玻璃	2500	0.64
石膏, 干的	1300	0.37
石灰石, 干的颗粒状	1680	0.60
15%容积含水, 颗粒状	1680	0.82
干的, 粗粒状	2000	0.82
人造革	1200	0.16
灰浆, 2%容积含水	1850	0.75~0.90
橡胶制品, 40%含胶量的软质制品	—	0.25
90%含胶量的软质制品	—	0.15
黄砂, 干的	1500	0.28
10%容积含水	1600	0.90
土壤, 干的	2000	0.45
新出土的粘土, 30%容积含水	2000	2.10

表 2-6 几种有色金属合金的导热系数

材 料	导热系数 λ , “大卡/(米)(小时)°C”			
	-50°C	0°C	200°C	400°C
黄铜: 70%Cu, 30%Zn	82	90	112	120
镍铬电热丝: 80%Ni, 20%Cr	—	—	13	16
镍铬电热丝: 90%Ni, 10%Cr	—	—	18	21
炮铜: 86%Cu, 9%Sn, 4%Zn	—	—	57	66
康乃尔合金: 67%Ni, 29%Cu	—	—	27	30

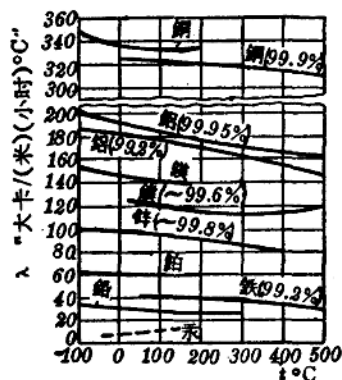
图 2-5 金属的 $\lambda = f(t)$

表 2-7 几种热处理过的钢铁合金的导热系数

名 称	化 学 组 成 (%)							导热系数 λ , “大卡/(米)(小时)°C”				
	C	Mn	P	S	Si	Ni	Cr	100°C	200°C	300°C	400°C	500°C
熟铁	0.04	0.05	0.136	0.025	0.265	—	—	50.3	45.2	42.7	38.8	34.8
高碳钢	0.83	0.27	0.017	0.015	0.16	—	—	38.3	37.4	35.4	33.5	31.5
低镍合金钢	0.35	0.56	0.015	0.020	0.20	1.37	0.46	38.2	36.7	35.1	33.6	32.0
低铬合金钢	0.10	0.45	0.013	0.017	0.18	—	5.15	31.4	30.7	30.2	29.5	28.9
铬合金钢	0.07	0.09	0.015	0.010	0.09	0.23	12.00	21.4	22.2	23.0	23.8	—
高铬合金钢	0.10	0.40	0.013	0.008	0.45	0.18	26.00	18.0	18.8	19.6	20.4	20.8
铬镍合金钢	0.07	0.27	—	—	—	9.10	18.60	14.1	15.2	16.4	17.4	18.6

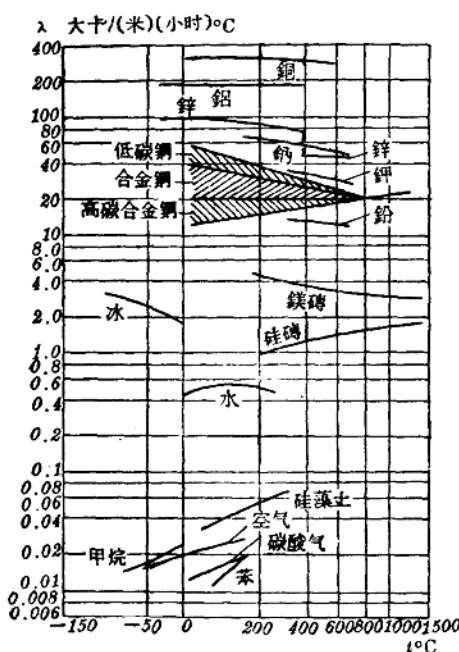


图 2-6 气体、液体和固体导热系数的比较

§ 2-4 导热問題的数学描写

导热理論的任务就是要找出任何时刻物体各部分的溫度，即求出：

$$t = f(x, y, z, \tau)$$

的具体关系。象其他許多数学物理問題一样，导热理論首先要建立解决溫度分布問題的微分方程式。

傅里叶定律给出了通过某个面积的热量的計算公式，但是除了一些特別简单的情形以外仅依靠它还不能求解出物体的溫度場。为了求解物体的溫度場，必須要利用傅里叶定律和能量守恒定律作基础，建立起描写导热問題的微分方程式。

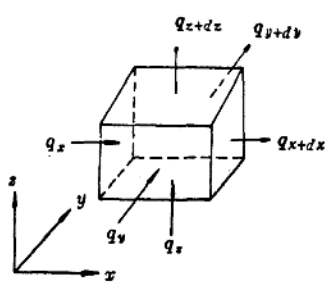


图 2-7 导热微分方程式的推导

个相邻面所传导的热量可以从傅里叶定律直接写出：

$$\left. \begin{aligned} dQ_x &= -\lambda \frac{\partial t}{\partial x} dy dz d\tau, \\ dQ_y &= -\lambda \frac{\partial t}{\partial y} dx dz d\tau, \\ dQ_z &= -\lambda \frac{\partial t}{\partial z} dx dy d\tau. \end{aligned} \right\} \quad (a)$$

在 $x = x + dx$, $y = y + dy$, $z = z + dz$ 各个面上沿轴向所传导的热量可以分别写成：

$$\left. \begin{aligned} dQ_{x+dx} &= -\lambda \frac{\partial}{\partial x} \left(t + \frac{\partial t}{\partial x} dx \right) dy dz d\tau, \\ dQ_{y+dy} &= -\lambda \frac{\partial}{\partial y} \left(t + \frac{\partial t}{\partial y} dy \right) dx dz d\tau, \\ dQ_{z+dz} &= -\lambda \frac{\partial}{\partial z} \left(t + \frac{\partial t}{\partial z} dz \right) dx dy d\tau. \end{aligned} \right\} \quad (b)$$

按照能量守恒定律，如果物体内部没有热源，那末传入与传出微元体热量的差额应该等于在同时间间隔 ($d\tau$) 内微元体本身储存热量（或称焓）的增加。故可写出下列热平衡式：

[微元体储存热量的增加]

$$= [传入微元体的热量] - [传出微元体的热量]. \quad (c)$$

单位容积单位时间内物体储存热量的增加可以用 $c\gamma \frac{Dt}{d\tau}$ 来表示，其中 c 代表比热， γ 代

表重度， $\frac{Dt}{d\tau}$ 代表 t 对 τ 的全导数，即：

$$\frac{Dt}{d\tau} = \frac{\partial t}{\partial \tau} + \frac{\partial t}{\partial x} \cdot \frac{\partial x}{\partial \tau} + \frac{\partial t}{\partial y} \cdot \frac{\partial y}{\partial \tau} + \frac{\partial t}{\partial z} \cdot \frac{\partial z}{\partial \tau}. \quad (d)$$

对固体来说， $\frac{\partial x}{\partial \tau}$, $\frac{\partial y}{\partial \tau}$, $\frac{\partial z}{\partial \tau}$ 都等于零，因此 $\frac{Dt}{dt}$ 就等于 $\frac{\partial t}{\partial \tau}$ 。这样在 $d\tau$ 一段时间内微元体储存热量的增加就可以表达为：